

東京大学 学生員 岩崎光隆  
東京大学 正会員 堀川清司

1. まえがき 複断面開水路の低水敷部と高水敷部との境界近傍においては、高水敷先端近傍から低水敷表面への低平均速度領域や、斜昇流の存在によって、その性質が特徴づけられる。<sup>1)</sup> 本研究においてはこの領域について、斜昇流の発生原因や、主流の流速分布の歪みの原因についての説明を試みる。一方矩形断面を持つ直線水路の流れにおいて、吉川、池田によつて二次流の発生原因が説明された。<sup>2)</sup> それによると以下の点がはつきりしたと考えられる。1) 矩形断面を有する直線流れでは、Reynolds応力の不均衡により二次流が生じる。2) 湍動粘性係数を断面内で一定とし、Reynolds方程式中の非線型項を無視して、簡略化した取り扱いにもかかわらず、二次流の分布形をよく表わすことができる。本論文は、基本的にはこの矩形断面内の二次流に対する取り扱いにならう、これを複断面偶角部に適用したものである。

2. 二次流についての実験ならびに考察 図-1に示すように座標軸をとり、 $U, V, W$ をそれぞれ $X, Y, Z$ 軸方向への平均流速、 $u, v, w$ をその乱れ成分とする。 $Z=0$ 面の Reynolds 方程式および連続の方程式を用い、これより圧力項を消去して、オーダーの小さい項を無視し、かつ流束数を定義し、Boussinesq による湍動粘性係数 $\epsilon$ を断面内で一定として導入すると、二次流を表わす基礎式は次のようになる。但し、“-”は時間平均値を示す。

$$\frac{\partial^2 \psi}{\partial z^2} - 2 \frac{\partial^2 \psi}{\partial y^2 \partial z^2} + \frac{\partial^2 \psi}{\partial z^4} = \frac{1}{\epsilon} \frac{\partial^2}{\partial y^2 \partial z} (\bar{v}^2 - \bar{w}^2) \quad \dots (1)$$

(1)式の右辺の $(\bar{v}^2 - \bar{w}^2)$ を実測し、境界条件 $\psi = 0, \frac{\partial^2 \psi}{\partial y^2} = \frac{\partial^2 \psi}{\partial z^2} = 0$ のもとに差分で解を求めるこことする。 $\epsilon$ は第一近似として、 $k_x \times (\text{摩擦速度}) \times (\text{平均水深}) / 6$  を用いた。

実験に使用した水路は長さ 6 m, 低水敷と高水敷の巾が 40 cm, 高水敷側の水深 6 cm, 低水敷側水深 12 cm で、測定は上流端より 4 m 下流側とした。高水敷と低水敷の境界近傍で、1.3 cm 間隔の格子状に 47 測定点で測定した。乱れは熱線流速計を用いて測定し、出力を一旦テータレコーダーにとり、A/D 変換機を介してコンピュータで処理した。サンプリングは 1/20 秒間隔で行ない、測定時間は 12.8 秒である。測定により得られた値を用いて、一格子間隔を 4 等分してその間を直線近似した。

このようにして $(\bar{v}^2 - \bar{w}^2)$ を測定して、(1)式の $\psi$ について解き、 $V = \frac{\partial \psi}{\partial z}, W = -\frac{\partial \psi}{\partial y}$ により二次流を計算した結果を示したのが図-2である。今回は偶角部において発生する二次流の及ぼす影響範囲は、ごく限られていると考え、高水路側に 3.9 cm、低水路側に 5.2 cm の範囲に二次流の境界を設けた。

3. 主流の流速分布の歪みについて 取り扱いを簡略化するために、領域を二つに分けて考えるものとする。図-3 に示したように、渦度が鉛直方向に多く輸送される領域 A と、水平方向に多く輸送される領域 B とに分けた。また、図-4 のように、高水敷側の領域端の表面流速を  $U_1$ 、低水敷側のそれを  $U_2$  とした。 $U = U_0 + \tilde{U}$  とし、 $U_0$  を二次流によって影響を受けない場合の主流の流速、 $\tilde{U}$  を二次流による歪みの流速とする。

歪みのない場合の主流の流速分布は、壁面から法線方向には対数分布となることが予想され、A, B それぞれの領域では次式が成り立つものとする。これらの計算値は図-5 に示される。

$$A \text{ 領域: } U_0 = \frac{U_2 - U_1}{b_1 + b_2} y + \frac{b_2 U_1 - b_1 U_2}{b_1 + b_2} + \frac{U_f}{k} \ln \frac{z}{h_2}, \quad B \text{ 領域: } U_0 = U_2 + \frac{U_f}{k} \left( \ln \frac{z + h_1}{h_1 + h_2} + \frac{1}{h_2} \frac{y}{b_2} \right) \quad \dots (2) \quad \dots (3)$$

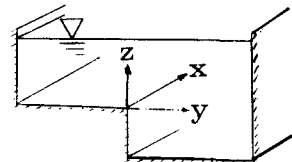


図-1 座標軸の配置

次に、二次流による歪みのある場合の流速分布について考察する。  
主流方向の Reynolds 方程式は次式である。

$$V \frac{\partial(U_0 + \tilde{U})}{\partial z} + W \frac{\partial(U_0 + \tilde{U})}{\partial y} = \frac{\partial(-UW)}{\partial z} + \frac{\partial(-UV)}{\partial y} \quad \dots(4)$$

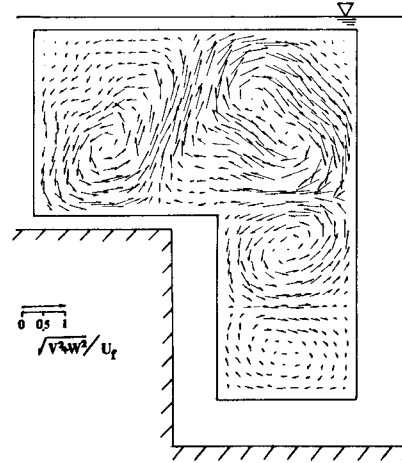
(4)式の右辺について、A領域、B領域で、それぞれ次のようにお

く。  
A領域  $-UW = \ell_x^2 \frac{\partial(U_0 + \tilde{U})}{\partial z} \left| \frac{\partial(U_0 + \tilde{U})}{\partial z} \right| = k^2 \ell_x^2 \left| \frac{\partial(U_0 + \tilde{U})}{\partial z} \right|^2$   $\dots(5)$

$-UV = \varepsilon \frac{\partial(U_0 + \tilde{U})}{\partial y} \quad \dots(6)$

B領域  $-UV = \ell_y^2 \frac{\partial(U_0 + \tilde{U})}{\partial y} \left| \frac{\partial(U_0 + \tilde{U})}{\partial y} \right| = k^2 \ell_y^2 \left| \frac{\partial(U_0 + \tilde{U})}{\partial y} \right|^2$   $\dots(7)$

$-UW = \varepsilon \frac{\partial(U_0 + \tilde{U})}{\partial z} \quad \dots(8)$

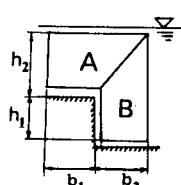


(5)式～(8)式を(4)式に代入し、二次の微小項を省略して整理する

図-2 二次流のベクトル図

と次のようになる。

A領域  $V \left\{ \frac{(U_2 - U_1)}{b_1 + b_2} + \frac{\partial \tilde{U}}{\partial y} \right\} + W \left\{ \frac{U_f}{k \gamma} + \frac{\partial \tilde{U}}{\partial z} \right\}$   
 $= 2kU_f \left( \frac{\partial \tilde{U}}{\partial z} + \gamma \frac{\partial^2 \tilde{U}}{\partial y^2} \right) + \varepsilon \frac{\partial^2 \tilde{U}}{\partial y^2} \quad \dots(9)$



$$\begin{aligned} h_1 &= 4.8 \text{ cm} \\ h_2 &= 5.6 \text{ cm} \\ b_1 &= 3.9 \text{ cm} \\ b_2 &= 5.2 \text{ cm} \end{aligned}$$

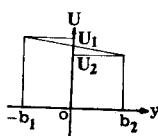


図-3 領域の分割

図-4 領域内の表面流速

これらを差分化して数値計算を行ない、 $\tilde{U}$ を求め、 $U_0$ を加え合わせた流速 $U$ を求め、その等流速線を図示すると、図-6に示される。

一方、実測された主流の流速分布は図-7のようになる。測定にはプロペラ式流速計を行い、5～10mm間隔ごとに測定点を設け、90～120秒間の平均流速を求めた。図-6および図-7を見比べると、偶角部から低流速域が低水敷水面に向かって広がっているのが両図ともに認められ、傾向は両者ともに一致しているといえる。

4. 結論。偶角部から低水敷水面に向かう斜昇流の発生する原因が $(U^2 - UW^2)$ の勾配であること、およびこの流れが原因となつて、偶角部近傍の主流の流速が小さくなることが明らかとなつた。

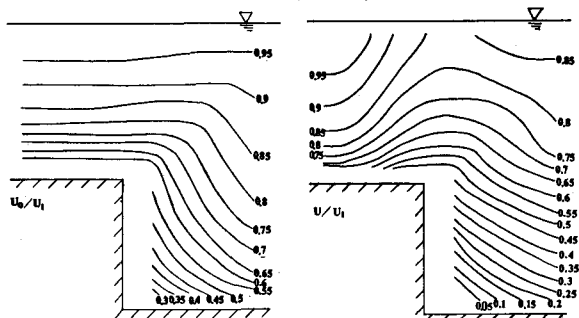


図-5 歪まない時の等流速線、図-6 歪められた主流の等流速線

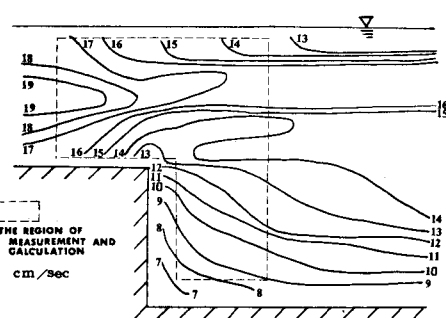


図-7 実測された主流の等流速線

(参考文献) 1). 今本博健, 久下俊夫 京大防災研年報17号B(1974) 2). 吉川秀夫, 池田駿介 土木学会論文集第250号(1976)